

(株) 神戸製鋼所 正 頭井 洋  
新家 徹

## | まえがき

円筒貯槽の耐震性の検討に際しては、地震外力を入口シングルに関連した変位型の長周期地震動と加速度型の短周期地震動に分けて考える事ができる。従来の耐震設計では側板の弾性変形を無視した Housner 理論や速度ボテンシャル理論が用いられてきたが、最近の研究により液体と側板弾性変形との連成効果の影響が短周期地震動に対しては無視できない事が明らかにされている。すなわち容器を梁で近似した方法や FEM による円筒シェル液体連成振動解析等が提案され場合により側板を剛とした時の 2 倍以上の動液圧が生じる事等が示されている。  
容器を梁で近似する方法は簡便な方法であるが高さが低くなると断面変形の影響によりシェル理論との相違が大きくなり実際に用いられる事の多い貯槽にはそのまま使用できない。断面のオーバル変形を考慮した梁モデルによる解析として高さ方向に  $\sin\theta$  分布すると仮定した浅井等による固有振動解析<sup>3)</sup>、坂井等による FEM 解析等が提案されていく。本文では、液体に速度ボテンシャル理論、容器にはシェル膜理論より導かれるオーバル変形を考慮した曲げせん断梁理論を用いた固有振動解析および地震応答解析について報告する。

## 2 理論

液体は非粘性、非圧縮、渦無しとし短周期地震動を対象としているので自由表面での波高は小さいとする。この時速度ボテンシャル  $\psi$  は図 1 の座標を用いて次のように表わされる。

$$\Psi(r, \theta, x, t) = -\frac{2}{R_h} \sum_{i=0}^{\infty} \left( \frac{I_1(\lambda_i r)}{-\frac{1}{a} I_1(\lambda_i a) + \lambda_i^2 I_0(\lambda_i a)} \right) \times \int_0^h \{(y + w_b) + i j_y\} \cos(\lambda_i \frac{x}{a}) dx \quad (1)$$

ここで  $\lambda_i = (\lambda + \frac{1}{2})\pi$ 、 $I_1(x)$ 、 $I_0(x)$  は 1 次および 0 次の第 1 種ベッセル関数である。また  $y$  は容器の渠たわみ、 $w_b$  は図 2 に示すように周方向に  $\cos\theta$  分布すると仮定したオーバル変形の  $\theta = 0$  における変形である。動液圧  $P$  は液体の単位質量を  $\rho_w$  として次式から求められる。

$$P(r, \theta, x, t) = -\rho_w \cdot \partial \Psi(r, \theta, x, t) / \partial t \quad (2)$$

渠のたわみ  $y$ 、たわみ角  $\theta$ 、曲げモーメント  $M$  せん断力  $Q$  の間にには次式が成立する。

$$\left. \begin{aligned} M &= -EI \frac{\partial^2 y}{\partial x^2}, \quad Q = kGA \left( \frac{\partial y}{\partial x} - \theta \right), \quad \frac{\partial M}{\partial x} = Q \\ \frac{\partial Q}{\partial x} &= S_b A \ddot{y} + \pi a h f_s \ddot{w}_b + \dot{\epsilon}_{bw} \end{aligned} \right\} \quad (3)$$

ここに  $S_b A$  は動液圧による単位長当りせん断力、 $f_s$  は容器の単位質量である。つぎにシェル膜理論の基礎式を用いてオーバル変形に関する式を導びく。図 1 に示したシェルの変位  $y, w$  は渠たわみ  $y$ 、オーバル変形  $w_b$  を用いて次のように表わされる。

$$v = -y \sin\theta, \quad w = (y + w_b) \cos\theta \quad (4)$$

接線方向、半径方向の外力  $P_\theta, P_r$  は次のようになる。  
 $P_\theta = -S_b h \ddot{y}, \quad P_r = -S_b h \ddot{w} - P(\theta, x, t) r_a \quad (5)$

断面力  $N_x, N_\theta$  と変位、外力との間にには次式が成立する。

$$\left. \begin{aligned} N_x &= \frac{M_1}{\pi a^2} \cos\theta, \quad N_x = B \left( \frac{\partial u}{\partial x} + \frac{v}{a} \frac{\partial v}{\partial \theta} + \frac{w}{a} \frac{\partial w}{\partial x} \right) \\ N_\theta &= \alpha P_r, \quad N_\theta = B \left( \frac{1}{a} \frac{\partial v}{\partial \theta} + \frac{w}{a} + v \frac{\partial u}{\partial x} \right) \end{aligned} \right\} \quad (6)$$

ここに  $B = Eh / (1 - \nu^2)$ 、 $\nu$ ：ボアソン比である。

まず容器液体連成系が、振動数の調和振動している場合を考える。この時式 (4) (5) (6) よりオーバル変形に関する式が得られる。

$$w_b^* = F Y^* - \frac{\nu}{R_h} \frac{F}{a^2} M^* + 2 \frac{\alpha}{\beta} R_p \cdot F \cdot uL(\bar{x}) \quad (7)$$

ここに  $\alpha, \beta, R_h$  は容器形状より定まる無次元値、 $\nu$  は無次元化した振動数、 $R_p$  は液体と容器の質量比を表わしている。

$$\left. \begin{aligned} \alpha &= l/a, \quad \beta = h/a, \quad R_h = h/h_0 \\ \nu &= \omega L \sqrt{\rho_s E}, \quad R_p = \rho_w / \rho_s \end{aligned} \right\} \quad (8)$$

$h_0$  は標準板厚である。また  $F, F^*$  はオーバル変形を表す無次元値である。

$$F = \omega^2 / (a^2 - l^2), \quad F^* = \nu \omega^2 F \quad (9)$$

$uL(\bar{x})$  は動液圧を表す項で次式で与えられる。

$$uL(\bar{x}) = \sum_{i=0}^{\infty} FB(\lambda_i / a \delta) \cdot \cos(\lambda_i \bar{x} / a) \cdot \int_0^h (Y^* + w_b^*) \cos(\lambda_i \bar{x} / a) d\bar{x} \quad (10)$$

ここに

$$FB(\lambda_i / a \delta) = I_1(\lambda_i / a \delta) / \{-\alpha \delta I_1(\lambda_i / a \delta) + \lambda_i^2 I_0(\lambda_i / a \delta)\}$$

ここで  $\bar{x} = x/l$ ,  $\bar{s} = s/l$  である。以上の諸式から変位・断面力に関する次の一次常微分方程式が得られる。

$$\frac{d}{dx} \begin{Bmatrix} Y^* \\ W^* \\ M^* \\ Q^* \end{Bmatrix} = \begin{Bmatrix} 0 & 1 & 0 & E^2/2a^3 R_h \\ 0 & 0 & -1/R_h & 0 \\ 0 & 0 & 0 & 1 \\ A_{41} & 0 & F^* & 0 \end{Bmatrix} \begin{Bmatrix} Y^* \\ W^* \\ M^* \\ Q^* \end{Bmatrix} \quad \cdots (11)$$

ここに  $A_{41} = -\{(2+F)d^2R_hQ^2 + (1+F)ma\}$   
 $ma = \frac{2}{Y^*} \Omega^2 R_h^2 \cdot R_h \cdot \frac{\alpha^3}{l^3} u(l)$ ,  $E^2 = E/\rho G$

式(11)における  $ma$  は動液圧による付加質量で、 $Y^*$  および  $W^*$  の関数となる。オーバル変形を考慮しない場合には  $F = 0$  とおけばよく、液体を含まない場合には  $ma = 0$  とおけばよい。式(11)に伝達マトリックス法を適用し固有振動数および固有モードを求めた。固有振動数・固有モードが求めれば Lagrange の運動方程式より各次数ごとの振動方程式が得られモードアナリシスの手法を用いて地盤応答解析が行える。

### 3 計算例

表1は空気中の薄肉円筒シェルの固有振動数の厳密解と本手法による計算値とを比較したものである。曲げせん断変形に加えオーバル変形を考慮すると高次モードについても厳密解に近い値が得られる。図3は円筒貯槽について坂井等のシェルモデルを用いたFEM計算値と本手法による計算値とを比較したものである。固有振動数は  $f = \lambda \sqrt{Eh/SwD^2H}$  で与えられる。オーバル変形を無視した梁モデルでは  $H/D$  が1より小さくなるとシェルモデルとの相違が大きくなる。一方オーバル変形を考慮すると  $H/D$  が小さい場合についてもシェルモデルと良く一致している。図4は梁のたわみモード  $Y^*$ 、オーバル変形モード  $W^*$  および動液圧モード  $P$  を示している。

破線は曲げせん断梁モデル、実線はオーバル変形を考慮した曲げせん断梁モデルの計算値を示す。

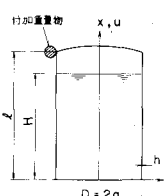


図1 タンク形状と座標系

表1 円筒シェルの固有振動数

モデル名	1	2	3	4
せん断梁	1843	5529	9215	12901
曲げ梁	1657	10381	29068	56968
曲げせん断梁	1244	4338	8500	12313
曲げせん断+オーバル	1237	4223	7288	8844
シェル厳密解	1205	3818	6817	9147

$\ell = 12 \text{ inch}$   $a = 3 \text{ inch}$   $h = 0.01 \text{ inch}$   
 $E = 29.6 \times 10^6 \text{ psi}$   $\nu = 0.29$   $f_0 = 0.733 \times 10^{-3} \text{ lb-sec}^2/\text{inch}^4$

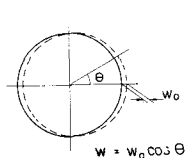


図2 オーバル変形モード

図2のH/D=2の場合にはオーバル変形も小さく動液圧分布にも両者の差はあまりみられない。H/Dが小さくなるにつれてオーバル変形が大きくなり H/D = 0.5の場合は動液圧分布にも両者の間にかなりの相違がみられる。その他の計算例については講演会当日報告させていただく。

### 4 あとがき

本文で述べた手法は、比較的簡単な方法でシェルモデルを用いた計算値に近い値が得られる。しかし Clough 等が指摘しているようにより詳細には 周方向高次モードも含めたシェル液体連成振動として取扱う必要があり、今後 本手法を発展させて検討を進めたい。

### 参考文献

- 1) 台木他 “液体を含む自立形薄肉円筒タンクの地震応答解析” 三菱重工技報 Vol. 12, No. 3, 1975
- 2) 坂井他 “固定屋根を有する円筒液体タンクの耐震設計 (第1報)” 圧力技術 17巻3号, 1979
- 3) 坂井他 “有限要素法による大型液体タンクの地震応答解析”, 川崎技報 59号, 60号, 1976
- 4) 坂井他 “円筒液体タンクの簡易振動解析法について”, マトリックス解析研究発表論文集, 1979
- 5) DENNIS F. VRONAY, "Free Vibration of Circular Cylindrical Shells of Finite Length" AIAA J. Vol 8, No 3 1972
- 6) D.P. CLOUGH & R.W. CLOUGH "Earthquake Simulator Studies of Cylindrical Tanks" Nucl. Eng. 1978

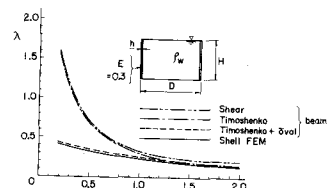


図3 円筒貯槽の固有振動数  $f = \lambda \sqrt{Eh/SwD^2H}$

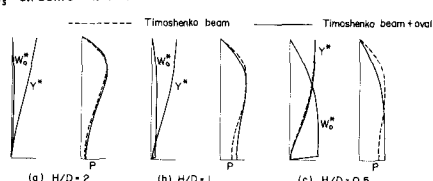


図4 固有モード